

논문 16-8-14

## 홀로그래픽 격자 형성에 대한 칼코게나이드 박막의 열처리 효과

### Annealing Effect of the Chalcogenide Thin Film for Holographic Grating Formation

박정일\*, 신경\*, 이정태\*, 이영종\*\*, 정홍배\*

(Jung-Il Park\*, Shin Kyung\*, Jung-Tae Lee\*, Young-Jong Lee\*\*, and Hong-Bay Chung\*)

#### Abstract

We prepared the chalcogenide  $\text{As}_{40}\text{Ge}_{10}\text{Se}_{15}\text{S}_{35}$ ,  $\text{Se}_{75}\text{Ge}_{25}$  thin film. Holographic grating was formed by the He-Ne laser ( $\lambda = 633 \text{ nm}$ ). Annealing at 100 °C and 200 °C has been used to change the optical property of chalcogenide thin films for holographic grating formation. As the results, large variation of the optical property was generated at the  $\text{As}_{40}\text{Ge}_{10}\text{Se}_{15}\text{S}_{35}$  chalcogenide film. Diffraction efficiency of the  $\text{As}_{40}\text{Ge}_{10}\text{Se}_{15}\text{S}_{35}$  film has been enhanced about three times

**Key Words :** Photoinduced, Photoexpansion, Holographic-grating, Diffraction efficiency, Annealing

#### 1. 서 론

칼코게나이드 재료를 광 소자 제작 및 기록 매질로 이용하기 위해 재료의 광학적 특성에 대한 연구가 활발하게 진행되어 오고 있다. 칼코게나이드 재료는 광 조사에 따라 광학적 특성이 변하게 되며, 흡수단 영역이 장파장 쪽으로 이동하는 광흑화 현상이 대표적 현상이라 할 수 있다[1,2]. 또한 재료의 굴절률과 부피 변화도 광 조사에 의하여 발생되고 재료의 에너지갭 이하의 편광 빔에 의해서는 광학적 이방성에 따른 이색성 발생이 보고되었다[3-7]. 이러한 광학적 특성의 변화를 이용한 마이크로 렌즈 배열, 광 파이버, 광 스위치, 홀로그래픽 대용량 메모리, 광 레지스트, 홀로그래픽 식각 기술 등의 응용에 대해 많은 연구가 이루어지고 있다[8-12]. 그 동안 연구되어온 4원계  $\text{As}_{40}\text{Ge}_{10}\text{Se}_{15}\text{S}_{35}$  칼코게나이드 박막을 실제 광소자

로서 응용하기 위해서는 격자 형성을 통한 회절효율의 개선이 가장 중요한 문제점이다. 따라서 본 논문에서는  $\text{As}_{40}\text{Ge}_{10}\text{Se}_{15}\text{S}_{35}$  박막과  $\text{Se}_{75}\text{Ge}_{25}$  칼코게나이드 박막에서 열처리 방법을 이용한 굴절률, 흡수 계수 등의 광 파라미터 변화를 비교 고찰 하므로써 열처리 방법에 의한 변화량을 분석하고 이에 따른 회절효율의 개선 방법을 제시하고자 한다.

#### 2. 실험

##### 2.1 시료제작

본 연구에 사용된 칼코게나이드 비정질 별크는 석영 관에 진공 봉입하여 전기로에서 충분히 반응시킨 후 water quenching 방법으로 제작하였다 [13].  $\text{As}_{40}\text{Ge}_{10}\text{Se}_{15}\text{S}_{35}$  및  $\text{Se}_{75}\text{Ge}_{25}$  비정질 박막은 열 충착기를 이용하여 코닝 유리 기판에 0.7  $\mu\text{m}$  두께를 갖도록 제작하고, 두께 및 광학상수는 NKT 1200 analyzer를 사용하여 측정하였다. 박막의 열처리는 MILA 3000 annealer를 사용하여 100 °C, 200 °C 온도에서 30 분간 열처리를 실시하였다. 그리고 열처리 장비내의 산소량을 줄이기 위해 5 분간 질소가스를 흘리며 진공펌프로 배기후  $2 \times 10^{-3}$  Torr의 진공상태를 유지하였다.

\* : 광운대학교 전자재료공학과  
(서울시 노원구 월계동 447-1),  
Fax : 02-943-3590

Corresponding Author : jipark@explore.kw.ac.kr

\*\* : 연주대학 전자과  
2002년 10월 30일 접수, 2002년 12월 4일 1차 심사완료,  
2003년 4월 11일 최종 심사완료

## 2.2 홀로그래픽 격자 형성

그림 1은 홀로그래픽 격자 형성에 대한 개략도를 나타내고 있다. 격자 형성에 사용된 광원은 비편광 He-Ne laser( $\lambda = 632.8 \text{ nm}$ , 25 mW)를 사용하였으며, 광원의 수직과 수평 편광 형태는 편광기를 이용하여 조절하였다. 또한 샘플 표면에서 광원의 세기는 2.7 mW 였다. 홀로그래픽 격자는 빔 분리기를 통하여 분리된 빔이 샘플 표면에서 간섭을 통한 간섭패턴의 기록에 의해 홀로그래픽 격자를 형성하였다. 두 기록 빔이 이루는 각은  $20^\circ$  도로 격자간격은 아래 표현된 식에 따라  $1.8 \mu\text{m}$  였다. 장치도 내에 iris는 격자 형성시 노이즈 패턴의 형성을 제거하고자 사용하였다.

$$\Lambda \approx \lambda / 2 \sin(\theta)$$

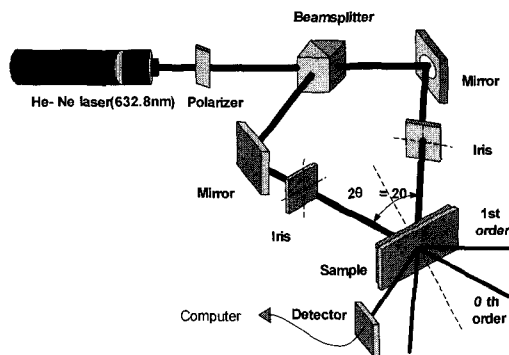


그림 1. 홀로그래픽 격자 형성 개략도.

Fig. 1. The schematic diagram for formation of the holographic grating.

## 3. 결과 및 고찰

제작된 각 시편의 열처리에 따른 광 파라미터의 변화는 NKT 1200 analyzer로 측정되었으며 측정 결과는 표 1에 나타내었다. 표 1의 측정 결과에서  $\text{As}_{40}\text{Ge}_{10}\text{Se}_{15}\text{S}_{35}$  박막은  $\text{Se}_{75}\text{Ge}_{25}$  박막에 비해 상대적으로 광 파라미터 값이 큰 변화를 나타내었다. 이러한 큰 변화는  $\text{As}_{40}\text{Ge}_{10}\text{Se}_{15}\text{S}_{35}$  박막이  $\text{Se}_{75}\text{Ge}_{25}$  박막에 비해서 열처리전 더욱 혼란한 구조적 형태를 이루고 있었을 것으로 판단된다.  $\text{As}_{40}\text{Ge}_{10}\text{Se}_{15}\text{S}_{35}$  박막에서 열처리에 따른 큰 부피적 변화는 박막의 릴리프 격자 형성의 능력을 좌우할 것이다[12].

표 1. 열처리에 따른 광 파라미터 변화.

Table 1. Optical parameter variation with annealing.

	Anneal. Temp.	$\Delta n$	$\Delta E_g$ (eV)	$\Delta t(\%)$
$\text{As}_{40}\text{Ge}_{10}$	100 °C	-0.158	0.11	-11.7 %
	200 °C	-0.202	0.12	-12 %
$\text{Se}_{75}\text{Ge}_{25}$	200 °C	-0.037	0.08	0.2 %

그림 2는 열처리 전후의 각 시료에 대한 에너지에 따른 흡수계수의 변화를 나타내고 있다.

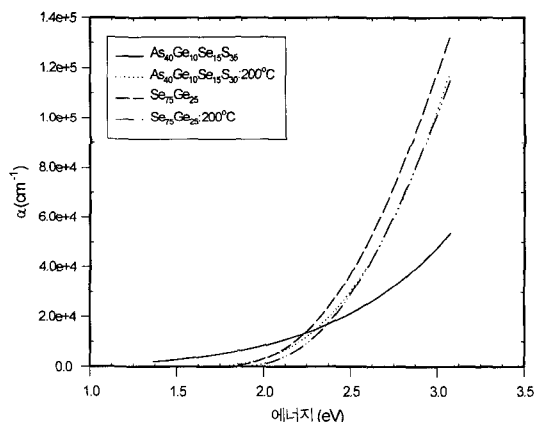


그림 2. 흡수계수 vs 광 에너지.

Fig. 2. Absorption coefficient vs photon energy.

그림 2에서  $\text{As}_{40}\text{Ge}_{10}\text{Se}_{15}\text{S}_{35}$ :200°C,  $\text{Se}_{75}\text{Ge}_{25}$ :200°C는 200°C에서 각각 열처리된 시료이다. 그림 2의 그래프에서 지수 함수적 변화 부분은 Urbach-tail 부분으로 칼코게나이드 재료의 가전자대 고립전자쌍과 관계하고 있다. 이러한 고립전자쌍은 칼코게나이드 재료의 구조적 형태에 영향을 미치게 되며, 광 에너지 조사에 따라 광 구조적 변화에 기여하게 될 것이다[3,14]. 즉 열처리로 안정된 박막의 구조가 광 조사에 따라 더욱 혼란한 상태로 되어 상호 분자적 점유 공간이 확장되고 부피적 팽창이 일어나 릴리프형 격자가 형성되는 것으로 사료된다.

그림 3은  $\text{As}_{40}\text{Ge}_{10}\text{Se}_{15}\text{S}_{35}$  박막의 열처리 전후 격자 형성에 따른 회절효율 변화를 비교하였다.

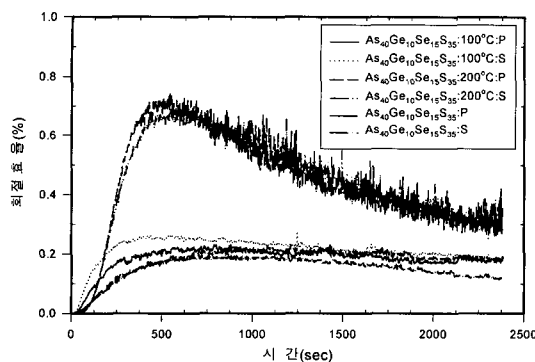


그림 3. 회절 효율.

Fig. 3. Diffraction efficiency.

200 °C에서 열처리한 시료의 경우 회절효율은 0.74 %였으며, 열처리 전의 회절효율 0.23 % 보다 약 3.2배 증가 하였다. 또한 100 °C 보다 200 °C 열처리 후 격자 형성에 따른 회절효율이 현저하게 증가하였는데 이 부분은 광유기에 의한 박막의 광 팽창만으로는 이해하기 어려운 부분이다. 또한 그림 3에서 P,S 는 격자 형성시 사용된 광원의 편광 상태를 나타내며, P는 수평 편광상태를 S는 수직 편광 상태를 나타낸다.  $\text{Se}_{75}\text{Ge}_{25}$  박막의 경우 회절효율이 0.003 %로 매우 낮았으며 열처리 후에는 효율이 더욱 감소하여 회절 패턴은 관찰할 수 있었으나 광 검출기에는 검출되지 않았다.

그림 4는  $\text{As}_{40}\text{Ge}_{10}\text{Se}_{15}\text{S}_{35}$  박막에 광조사함으로써 형성된 릴리프형 홀로그래픽 격자의 AFM 사진으로 표면의 변화를 확인할 수 있다.

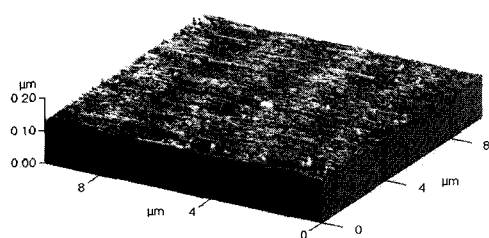


그림 4. 홀로그래픽 격자의 AFM 사진.

Fig. 4. AFM Photograph of holographic grating.

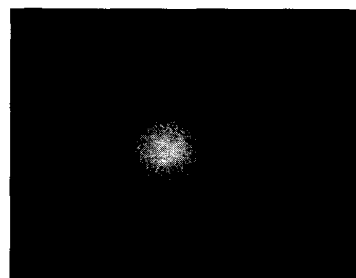


그림 5. 격자 회절 패턴.

Fig. 5. Diffraction pattern.

그림 5는  $\text{As}_{40}\text{Ge}_{10}\text{Se}_{15}\text{S}_{35}$  박막의 열처리 전 격자 형성에 따른 1차 회절 빔의 회절 패턴을 나타내고 있다.

#### 4. 결 론

본 실험에서 200°C에서 열처리된  $\text{As}_{40}\text{Ge}_{10}\text{Se}_{15}\text{S}_{35}$  박막은 열처리 전의 회절효율 0.23 %보다 3.2 배 증가된 0.74 %를 얻을 수 있었으며, 이것은 Urbach-tail 부분의 광 조사에 의해 가전자대 고립 전자쌍에 기인한 광 구조적 변위에 의한 것으로 판단된다. 그러나 초기의 격자 형성시간은 그림 3에 처럼 열처리 전의 시료나 100 °C에서 열처리된 박막 보다 지연됨을 확인할 수 있었다. 열처리 효과는 홀로그래픽 격자 형성에 따른 회절효율을 크게 향상 시켰으나 2D, 3D 홀로그래픽 저장매질로의 실제적 응용을 위해서는 더욱 개선이 필요하다. 또한 광 유기에 의한 광 팽창 효과는 gaussian 형태의 빔을 이용할 경우 자기 정렬 마이크로 렌즈나 마이크로 렌즈 배열의 제작에 응용할 수 있을 것으로 판단된다.

#### 감사의 글

이 논문은 2001년도 정보통신부에서 지원하는 대학기초연구지원사업으로 수행되었음.(2001-027-3)

#### 참고 문현

- [1] Jari, T. S. Taylor, P. L. Kuhns, W. G. Moulton, and N. S. Sullivan,

- "Photodarkening in glassy As<sub>2</sub>S<sub>3</sub>", J. of Non-Crystalline Solids", Vol. 266-269, p. 929, 2000.
- [2] K. Hyashi and N. Mitsuishi, "Thickness effect of the photodarkening in amorphous chalcogenide films", J. of Non-Crystalline Solids, Vol. 299-302, p. 949, 2002.
- [3] K. Tanaka, "Sub-gap excitation effects in As<sub>2</sub>S<sub>3</sub> glass", J. of Non-Crystalline Solids, Vol. 266-269, p. 889, 2000.
- [4] A. Ganjoo, Y. Ikeda, and K. Shimakawa, "In situ photoexpansion measurement of amorphous As<sub>2</sub>S<sub>3</sub> films: Role of photocarriers", Applied Physics Letters, Vol. 74, No. 15, p. 2119, 1999.
- [5] M. Fischer, T. Galstian, R. Valle'e, and A. Salimina, "Surface and volume contributions to total diffractive efficiency in As<sub>2</sub>S<sub>3</sub> thin films glasses", Synthetic Metals, 9157, p. 1, 2002.
- [6] S. R. Elliott and V. K. Tikhomirov, "Vectorial and scalar photoinduced effects in chalcogenide glasses", J. of Non-Crystalline Solids", Vol. 198-200, p. 669, 1996.
- [7] 장선주, 손철호, 여철호, 박정일, 이영종, 정홍배, "비정질 칼코게나이드 As-Se-Ge-S 박막에서 편광기록 및 재생", 한국전기전자재료학회 2000학술대회논문집, Vol. 1, No. 1, p. 820, 2000.
- [8] N. P. Eisenberg, M. Manevich, M. Klebanov, V. Lyubin, and S. Shtutina, "Fabrication and testing of microlens arrays for the IR based on chalcogenide glassy resists", J. of Non-Crystalline Solids, Vol. 198-200, p. 766, 1996.
- [9] M. Barge and S. Bruynooghe, "120-nm lithography using off-axis TIR holography and 364-nm exposure wavelength", Microelectronic Engineering, Vol. 57-58, p. 59, 2001.
- [10] M. F. shurbanov and V. S. Shiryaev, "Optical fibers based on As-S-Se glass system", J. of Non-Crystalline Solids, Vol. 284, p. 146, 2001.
- [11] J. Teteris, "Amorphous As-S-Se semiconductor resists for holography and lithography", J. of Non-Crystalline Solids", Vol. 299-302, p. 978, 2002.
- [12] 박종화, 장선주, 박정일, 여철화, 이영종, 정홍배, "비정질 칼코게나이드 박막에 surface relief 격자 형성", 한국전기전자재료학회 2000학술대회논문집, Vol. 1, No. 2, p. 299, 2000.
- [13] 장선주, 박종화, 손철호, 정홍배, "비정질 칼코게나이드 As-Ge-Se-S 박막에서 편광기록 및 재생", 전기전자재료학회논문지, 13권, 9호, p. 781, 2000.
- [14] S. R. Elliott, "Physics of Amorphous Materials", Longman Scientific & Technical, second edition, p. 351, 1990.